

طراحی و ساخت دستگاهی مکانیکی برای کنترل ابعادی ایرفویل

پره توربین

یوسف حجت^{۱*}، محمد سببی^۲، حسن فروغی^۳، محمدرضا کرفی^۴

- ۱- دانشیار گروه ساخت و تولید، دانشگاه تربیت مدرس
- ۲- دانش آموخته، کارشناسی ارشد ساخت و تولید، دانشگاه تربیت مدرس
- ۳- دانشجوی دکترا ساخت و تولید، دانشگاه تربیت مدرس
- ۴- دانشجوی دکترا ساخت و تولید، دانشگاه تربیت مدرس

*تهران، صندوق پستی ۱۴۱۱۵-۱۴۳

yhojjat@modares.ac.ir

(دریافت مقاله: تیر ۱۳۸۴، پذیرش مقاله: مهر ۱۳۸۷)

چکیده- پره یکی از حساس‌ترین اجزای توربین است که ساخت آن به شرکتهای خاصی منحصر است. ایرفویل پره دارای سطوح سه‌بعدی پیچیده‌ای است که برای کنترل ابعادی آن به تجهیزات ویژه‌ای نیاز است. هدف از این مقاله، طراحی و ساخت سیستمی مکانیکی است که بتواند مقاطعی دو‌بعدی از ایرفویل را بر روی صفحه پروفایل پروژکتور بازسازی کند تا بتوان آنها را با نمونه‌های مرجع مقایسه کرد. برای بازسازی مقطع ایرفویل از تعداد زیادی پین با قطر کم استفاده شده است. این پین‌ها از دو طرف به‌سمت ایرفویل حرکت کرده و پس از رسیدن به آن متوقف می‌شوند. لذا مکان هندسی نقاط انتهایی پین‌ها به شکل ایرفویل خواهد شد. در پایان پین‌ها با حفظ شکل ایرفویل از پره جدا شده و به زیر صفحه پروفایل پروژکتور جایه‌جا می‌شوند.

کلید واژگان: پره توربین، ایرفویل، کنترل ابعادی، پروفایل پروژکتور.

پروب پیرو با منحنی فوق مقایسه شود [۲]. در این روش حرکت پروب ممکن است باعث ارتعاش شود و در نتیجه بر دقت اندازه‌گیری اثر بگذارد. همچنین در این روش در هر لحظه فقط یک نقطه از سطح قطعه کنترل می‌شود.

- استفاده از گیج‌های گیوتین: در این روش منحنی مقطع ایرفویل پره به صورت شابلون ساخته و به پره نزدیک می‌شود. سپس فاصله بین سطح ایرفویل با شابلون مذبور با گیج‌های برو نرو کنترل می‌شود. از این گیج‌ها

۱- مقدمه

به‌طور کلی کنترل ابعادی ایرفویل پره توربین را می‌توان با روش‌های ذیل انجام داد:

- استفاده از پروب‌های مماسی و پروفایل پروژکتور: پروبی مماس بر پره حرکت کرده و یک پروب پیرو متصل به پروب اولیه است و سایه آن بر روی صفحه پروفایل پروژکتور تصویر می‌شود. می‌توان منحنی مرجعی از مقطع پره را بر روی صفحه پروفایل پروژکتور چسباند، تا سایه

اولیه این دستگاهها زیاد است.

- تشکیل مقاطع دو بعدی از ایرفویل بر روی صفحه پروفایل پروژکتور توسط مواد زود ذوب یا سایر روشها و مقایسه آنها با نمونه های مرجع [۵]: عدم دقت بالا و تمیزی کار جزو معایب این روش است.

هدف از این مقاله طراحی و ساخت دستگاه نمونه ای است که بتواند مقاطع دو بعدی پره را به سادگی و با دقت بالا تشکیل داده و به روی صفحه پروفایل پروژکتور منتقل کند تا به وسیله آن بتوان ابعاد ایرفویل اینواع پره ها را کنترل کرد. از آنجاکه این روش کاملاً مکانیکی و آنالوگ است، سرعت نسبتاً بالایی دارد (زیرا نیاز به پردازش مجدد ابر نقاط در کامپیوتر، مانند آنچه در روش های دیجیتال انجام می شود، ندارد). همچنین از آنجاکه اندازه گیری هر سطح مقطع به صورت یکجا انجام می شود، نسبت به روش های مشابه دقت بیشتری دارد. این روش برای قطعات نرم کاربرد ندارد.

۲- طراحی دستگاه

دستگاه موردنظر بدین صورت طراحی شده که بتواند مقاطع دو بعدی از ایرفویل را بر روی صفحه پروفایل پروژکتور بازسازی کند. برای بازسازی مقطع ایرفویل از تعداد زیادی پین با قطر کم استفاده شده است. این پین ها از دو طرف به سمت ایرفویل حرکت کرده و پس از رسیدن به آن متوقف می شوند. لذا مکان هندسی نقاط انتهایی پین ها به شکل ایرفویل خواهد شد. در نهایت پین ها با حفظ شکل ایرفویل از پره جدا شده و به زیر صفحه پروفایل پروژکتور جابه جا می شوند. در این موقعیت سایه پین ها بر روی صفحه پروفایل پروژکتور شکل ایرفویل پره را تشکیل می دهد، لذا می توان سایه فوق را با نمونه مرجع مقایسه کرد.

برای کنترل مقاطع محدود ایرفویل استفاده می شود. هر چند گیج های فوق دارای سرعت نسبی مناسبی برای کنترل ایرفویل هستند، اما دقت کمی دارند و برای هر پره باید گیج مخصوص آن، طراحی و ساخته شود.

- استفاده از پروب های تماسی و کنترل نقاط مشخصی از ایرفویل: پروب های فوق می توانند ساعتهاي اندازه گیری یا سنسور های الکترونیکی نظیر LVDT باشنند. در این نوع سیستمها پره به وسیله فیکسجر خاصی موقعیت گرفته و پروب ها بر روی پایه های مخصوص سوار می شوند تا در نقاط خاصی با پره تماس داشته باشند. پروب های فوق معمولاً با پره های مرجع کالیبره می شوند [۳]. در این روش فقط نقاط مشخص و محدودی از پره کنترل می شود. اگر چه دقت این روش از روش گیج گیوتین بالاتر است، اما زمان اندازه گیری طولانی تر است.

- استفاده از ماشینهای CMM و پروب های تماسی: در این روش مختصات نقاط مشخصی از ایرفویل به وسیله ماشین به دست آمده و با مدل مرجع در کامپیوتر مقایسه می شوند. این ماشین ها دارای دقت بالا بوده، اما هزینه اولیه آنها نیز بسیار بالا است و نیاز به کاربر ماهری دارند. تعمیر و نگهداری گران قیمت و زمان طولانی اندازه گیری یکی دیگر از معایب این دستگاهها است.

- استفاده از روش های نوری و سنسور های غیر تماسی: در این روشها مختصات نقاطی از ایرفویل با سرعت و دقت بالا به دست می آید. نقاط در نرم افزار وارد شده و مقایسه با مدل مرجع در کامپیوتر انجام می شود [۴]. امروز در بیشتر صنایع برای اندازه گیری مقاطع قطعات از این روش استفاده می شود. زیرا اندازه گیری در این دستگاهها با دقت و سرعت بالا انجام می شود. برای مثال سیستم هایی نوری وجود دارد که نمونه برداری از ۲۰۰۰ نقطه را با دقت ۱۰ میکرومتر انجام می دهد. البته هزینه

جایه‌جایی مقاطع ایرفویل نسبت به یک مقطع مرجع تعريف می‌شود و رواداشت آن معمولاً در حدود $15^\circ \pm 15^\circ$ است. در بعضی از مقالات یا استانداردها انحرافهای فوق ممکن است به صورت Tilt و Lean (شکل ۱) تعريف شوند که انحرافات مقاطع مشخص از ایرفویل در دو امتداد عمود بر هم تعريف می‌شوند. بر طبق شکل ۱، شکم دادگی پره به صورت انحراف یک نقطه مشخص روی مقطع میانی ایرفویل از خطی اندازه‌گیری می‌شود که این خط از نقاط متاظر مربوط به دو مقطع انتهایی و مرجع ایرفویل می‌گذرد. در بعضی از نوشته‌ها ممکن است نقاط فوق مراکز مقاطع یا نقطه انباشتگی^۱ آنها در نظر گرفته شوند. پارامتر فوق انحراف مقطع میانی را از دو مقطع مرجع حدی بیان می‌کند [۶، ۷].

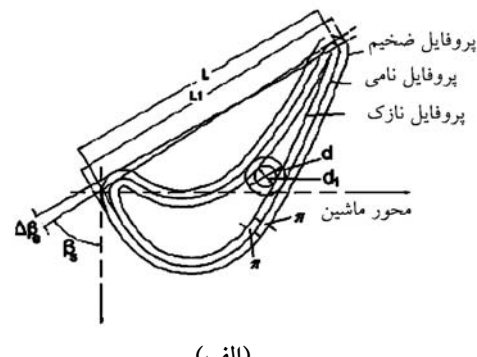
۲-۲- تعیین دامنه اندازه‌گیری

برای تعیین دامنه اندازه‌گیری، پره‌های مختلف مورد بررسی قرار گرفته و سیستم به شکلی ساخته می‌شود که قابلیت کنترل این گونه پره‌ها را داشته باشد. لذا پره‌های مختلف در نرم‌افزار برش خورده و اندازه‌های مورد نیاز نظیر طول و تر، مقدار پیچش مقاطع نسبت به هم، عرض و طول کلی برای انواع پره‌ها به دست آمده است. برای مثال از میان پره‌های کوچک، پره‌ای در نظر گرفته شده که به ترتیب دارای ارتفاع، طول و تر و عرض ۱۲۰، ۳۰ و ۲۳ میلی‌متر بوده یا از میان پره‌های بزرگ، پره‌ای در نظر گرفته شده که دارای ارتفاع، طول و تر و عرض ۲۹۰، ۵۶ و $77/5$ میلی‌متر است. نکته دیگری که در اینجا باید در نظر گرفته شود محدودیت صفحه پروفایل پروژکتور است. در این مورد خاص که طراحی بر مبنای آن انجام شده، قطر صفحه مذبور در حدود ۴۵۰ میلی‌متر است. چنانچه از بزرگنمایی $5\times$ استفاده شود، بزرگترین مقطعی که می‌تواند کنترل شود، باید طول و تر کمتر از ۹۰ میلی‌متر داشته باشد.

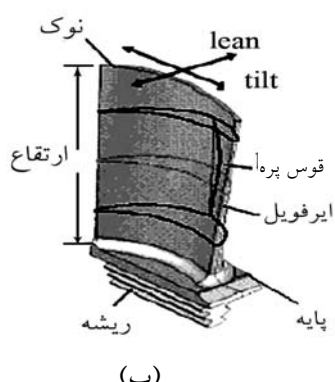
1. Stacking Point

۱-۲- پارامترهای کنترل ابعادی ایرفویل

بر طبق شکل (۱-الف) رواداشت پروفایل (π) به صورت انحراف پروفایل پره از پروفایل نامی (که در جهت عمود بر پروفایل اندازه‌گیری می‌شود) تعريف می‌شود. رواداشت ضخامت به صورت $b = d_1 - d$ تعريف می‌شود که به مفهوم تفاوت میان ضخامت پروفایل واقعی d_1 و ضخامت پروفایل نامی d است. رواداشت طول و تر (طول خطی مماس بر دو انتهای پره)، تفاوت میان طول و تر واقعی L_1 و وتر نامی L تعريف می‌شود ($L_1 - L = \Delta L = L_1 - L$). رواداشت زاویه پیچش، انحراف هر مقطع پروفایل از زاویه پیچش نامی آن (β) است [۶].



(الف)



(ب)

شکل ۱ پره توربین نمونه و یک مقطع از آن برای تعريف مقادیر رواداشت

بر طبق شکل (۱-ب) انحرافات زاویه‌ای، به صورت

۴-۲- عملکرد اجزا برای کنترل ابعادی ایرفویل

سیستم مکانیکی به طور کلی از سه قسمت تشکیل می‌شود:

- قسمت اندازه‌گیری (مجموعه پین‌ها و نحوه حرکت آنها)،
- قسمت موقعیت‌دهنده پره و ۳- بدنه سیستم. مجموعه فوق همراه با مراحل عملکرد آن در شکل‌های ۲ و ۳ نشان داده شده است. پره در قسمت موقعیت‌دهنده نصب می‌شود. برای جابه‌جایی پره در راستای محور Z از میل پیچ متصل به میز موقعیت‌دهی پره استفاده می‌شود. از ورنیه برای دوران مهره این میل پیچ استفاده می‌شود و با دوران این مهره ثابت، میل پیچ در راستای محور Z حرکت می‌کند. قسمت اندازه‌گیری پره شامل مجموعه پین‌هایی است که می‌توانند از دو طرف با پره تماس پیدا کرده و شکل مقطع پره را بازسازی کنند. بر طبق شکل ۴ پین‌ها توسط قطعات ۷ شکل شماره ۱ و ۳ و قطعه ۲ موقعیت می‌گیرند. بدین صورت که فقط در امتداد محور خود درجه آزادی خواهند داشت. روی پین‌های مزبور نمد ۸ قرار می‌گیرد. قطعه ۹ از بالا توسط پیچ‌هایی بر نمد فوق فشار وارد می‌کند. بدین ترتیب نیروی جلو برند پین‌ها، با پیچاندن پیچ‌های تنظیم، کالیبره می‌شود. پیچ‌های تنظیم بر روی قطعه ۱۰ سوار شده که خود آن به قطعه ۳ پیچ می‌شود. قطعات ۱ و ۲ نسبت به قطعه ۴ ثابت است، در حالی که قطعه ۳ همراه با اجزای سوار شده بر روی آن می‌تواند بر روی سطح قطعه ۴ در امتداد X لغزش داشته باشند. حرکت لغزشی فوق با پیچاندن پیچ ۱۶ انجام می‌شود؛ بدین شکل که بلبرینگ ۱۷ در قطعه ۱۰ پرسی جا رفته و پیچ ۱۶ در داخل بلبرینگ فوق پرس می‌شود. لذا با پیچاندن پیچ فوق، بر قطعه ۱۰ در امتداد محور X نیرو وارد شده و باعث جابه‌جایی پین‌های شکل‌دهنده ایرفویل در امتداد محورشان می‌شود. با حرکت پین‌ها به سمت جلو، چنانچه هر یک از آنها به مانعی برخورد کند، حرکت آن متوقف می‌شود در حالی که پین‌های دیگر به حرکت خود ادامه می‌دهند تا اینکه

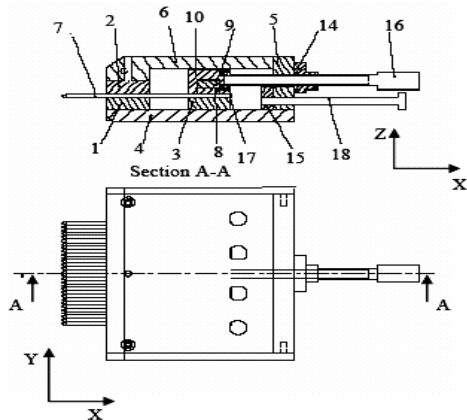
محدودیت ارتفاعی ایرفویل پره، پس از مدل‌سازی سیستم و محدودیتهای هندسی پروفایل پروژکتور به دست می‌آید که در سیستم موردنظر، پره در امتداد محور خود حداقل تا ۲۹۰ میلی‌متر می‌تواند جابه‌جا شود. نکته دیگر این است که ایرفویل از طرف پایه به طرف سر پره دارای سطح مخروطی است. لذا برای مراحل بعدی طراحی لازم است محدوده مشخصی از زاویه مخروطی فوق تعیین شود. به این‌منظور انواع پره‌ها به صورت نرم‌افزاری در مقاطع مختلف برش خورده و زاویه فوق بین ۱ تا ۱۰ درجه به دست آمده است. با توجه به مطالب ذکر شده، دامنه اندازه‌گیری دستگاه ساخته شده در جهت ارتفاع حداقل ۲۹۰ میلی‌متر، طول وتر حداقل ۹۰ میلی‌متر و عرض حداقل ۵۶ میلی‌متر است.

۳-۲- به دست آوردن اندازه‌های اجزای پروفایل پروژکتور موجود

بعضی از اندازه‌های پروفایل پروژکتور در طراحی سیستم مهم است. بنابر این اندازه‌های مهم از کاتالوگ دستگاه استخراج شده است. پس از به دست آوردن اندازه‌ها، دستگاه در نرم‌افزار 2003 به صورت سه‌بعدی مدل‌سازی شده است. برای اینکه دقت موقعیت‌دهی پین‌های شکل‌دهنده ایرفویل در برابر پروفایل پروژکتور مشخص شود، لازم است عمق میدان پروفایل پروژکتور در بزرگنمایی‌های مختلف مشخص شود. از آنجایی که مقدار فوق در کاتالوگ دستگاه ذکر نشده، آزمایشی انجام شده و عمق میدان برای بزرگنمایی‌های $10x$ ، $20x$ ، $5x$ به دست آمده است. مقادیر در جدول ۱ آورده شده است.

جدول ۱ عمق میدان عدسی‌های پروفایل پروژکتور در بزرگنمایی‌های مختلف

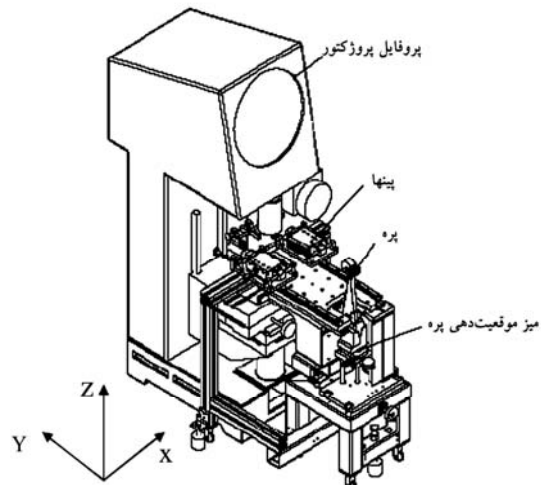
بزرگنمایی	۲۰	۱۰	۵	عمق میدان mm
	۰/۷	۱/۴	۴	



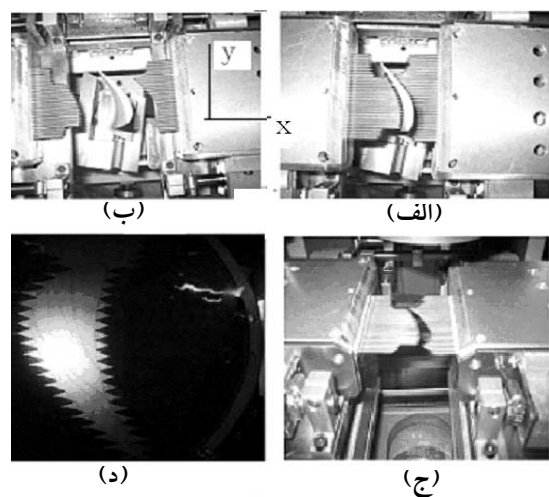
شکل ۴ نمایهای بالا و برش خورده از مجموعه در برگیرنده پین‌ها که نحوه عمل آن را نشان می‌دهد.

بر طبق شکل (۳-ب) مقطع شکل گرفته، روی بوش بلبرینگ‌های دقیق در امتداد محور X از یکدیگر باز شده و کل مجموعه توسط بلبرینگ‌های خطی در امتداد محور Y سیستم، با دقت بالایی به زیر صفحه نوری پروفایل پروژکتور انتقال می‌یابد. سیستم عملکرد این بلبرینگ‌ها به صورت تماس غلتی مجموعه‌ای از ساقمه‌ها بر روی مسیرهای مشخص است. این مجموعه‌ها به صورت استاندارد در بازار موجود بوده و مجموعه‌های دقیق و تکرارپذیری بوده. سپس دو مجموعه پین‌ها به یکدیگر نزدیک می‌شوند تا در موقعیت اول قرار گرفته و مقطع ایرفویل دوباره حاصل شود (شکل ۳-ج). در این حالت با روشن کردن پروفایل پروژکتور، تصویر مقطع پره بر روی صفحه آن حاصل می‌شود. (شکل ۳-د). مقطع مرجع که بر روی اسلاید شفاف چاپ شده بر روی صفحه پروفایل پروژکتور چسبانده شده و مقایسه انجام می‌شود. برای اندازه‌گیری مقاطع مختلف پره، می‌توان میز نصب پره را در راستای z جابه‌جا کرده و اندازه‌گیری را بار دیگر انجام داد. در هنگام اندازه‌گیری، موقعیت y مجموعه پین‌ها توسط یک پین استپ و موقعیت x آنها توسط دو برش استپ و آهنربا (برای قفل شدن مجموعه پین‌ها) ثابت

آنها نیز به وسیله مانعی متوقف شوند. با توضیحات فوق چنانچه سطح ایرفویل در برابر پین‌ها قرار گیرد، با توقف تمامی پین‌ها مقطع سوردنظر از ایرفویل به وسیله پین‌ها بازسازی خواهد شد (شکل ۳-الف).



شکل ۲ نمای ایزومتریک سیستم مکانیکی ساخته شده در کنار دستگاه پروفایل پروژکتور

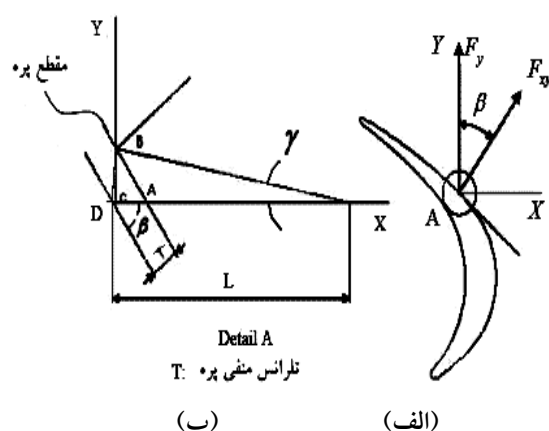


شکل ۳ (الف، ب و ج) مراحل انجام شده برای تشکیل یک مقطع از پره توربین توسط پین‌های شکل دهنده (د) مقطع شکل گرفته بر روی صفحه پروفایل پروژکتور

$$e_1 = OA - R = \frac{R}{\cos\theta} - R = R\left(\frac{1}{\cos\theta} - 1\right) \quad (1)$$

چنانچه شعاع سر پین $R=25\text{mm}$ انتخاب شود در بحرانی ترین حالتها که زاویه مخروطی پره $(\theta=10^\circ)$ است، خطای e_1 برابر μm ۴ خواهد بود.

تغییر شکل پین‌ها بر اثر خمش: بردار عمود نقاط سطح ایرفویل در امتداد محور پین‌ها نیست لذا بر اثر تماس پین‌ها با سطح ایرفویل، نیروی خمش بر پین‌ها وارد شده و خطاهای e_2 و e_3 را ایجاد می‌کند. بر طبق شکل‌های ۶ و ۷ خطای e_2 بر اثر خمش پین در صفحه‌ای موازی صفحه Y-X پره و خطای e_3 بر اثر خمش پین در صفحه‌ای موازی صفحه X-Z ایجاد می‌شود. در این مرحله قطر پین‌ها طوری انتخاب می‌شود که خطای e_2 در بحرانی ترین حالت با توجه به محدوده رواداشت پروفیل پره، قابل قبول باشد، سپس خطای e_3 به‌دست می‌آید.



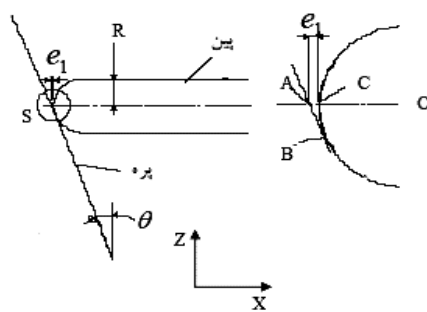
شکل ۶ (الف) مقطعی از پره که به‌وسیله تقاطع صفحه‌ای موازی صفحه X-Y به‌دست آمده و نیروی F_y باعث خمش پین در صفحه‌ای موازی صفحه X-Y می‌شود.
(ب) خطای حاصل از خمش پین

می‌شود. در هنگام بازخوانی شکل پره در زیر پروفایل پروژکتور نیز، موقعیت x مجموعه پین‌ها دوباره توسط همان بوش استپ و آهنرباها در شرایط اولیه ثبیت می‌شود. همچنین در صورت انحراف سایه پین‌ها از پروفایل مرجع می‌توان توسط دو پیچ تنظیم موقعیت مجموعه استپ‌ها را در جهت x و y به‌گونه‌ای تنظیم کرد که سایه پین‌ها درست بر روی پروفایل مرجع قرار گیرد. میزان جابه‌جایی پیچ‌ها در راستای x و y توسط دو ساعت اندازه‌گیری ثبت می‌شود و بیانگر میزان خطای محوری است.

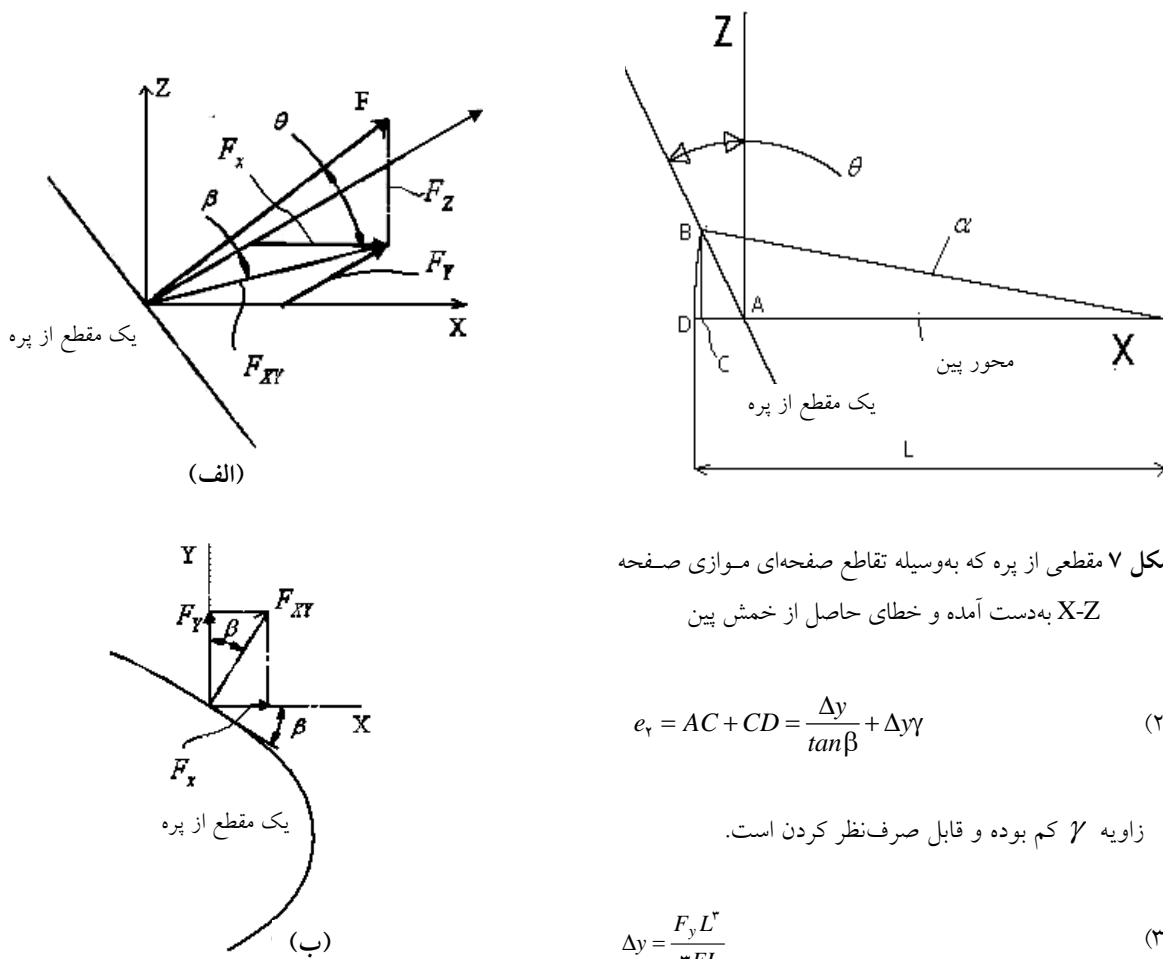
۳- محاسبات به‌دست آوردن قطر پین‌ها و

خطاهای

برای محاسبه قطر پین‌ها، باید تأثیر قطر پین‌ها بر اندازه‌گیری بررسی شود. این تأثیر به شکل‌های زیر قابل بررسی است: بررسی نحوه تماس پین‌ها با ایرفویل: به دلیل اینکه ایرفویل از طرف پایه به‌طرف سر پره دارای سطح مخروطی است، چنانچه پین سر کروی بخواهد بر آن مماس شود، طبق شکل ۵ نقطه تماس (B) با نقطه موردنظر برای اندازه‌گیری (A) متفاوت بوده و خطای e_1 را ایجاد خواهد کرد. خطای فوق به زاویه مخروطی ایرفویل (θ) و قطر سر پین بستگی دارد؛ لذا قطر سر پین طوری انتخاب می‌شود که خطای در حد قابل قبولی باشد. ضمن اینکه این خطای نوع سیستماتیک بوده و قابل جبران است.



شکل ۵ مقطع پره که پینی با آن مماس بوده و توسط صفحه‌ای به‌موازات صفحه Z-X برش خورده است.



شکل ۷ مقطعی از پره که بهوسیله تقاطع صفحه‌ای موازی صفحه X-Z بدست آمده و خطای حاصل از خمش پین

$$e_r = AC + CD = \frac{\Delta y}{\tan \beta} + \Delta y \gamma \quad (2)$$

زاویه γ کم بوده و قابل صرف نظر کردن است.

$$\Delta y = \frac{F_y L^r}{\tau EI} \quad (3)$$

$$e_r = \frac{F_y L^r}{\tau EI \tan \beta} \Rightarrow I = \frac{F_y L^r}{\tau E e_r \tan \beta} = \frac{\tau L^r}{\tau E e_r \tan \beta} \quad (4)$$

بر طبق شکل ۸ در طراحی، نیروی محوری پین مقداری معلوم در نظر گرفته شده است ($F_x = 2[N]$)
۲ نیوتون نیرویی است که به صورت تجربی بدست آمده است، به طوری که هم تماس کامل بین پین و سطح پره را تضمین کند و هم باعث تغییر شکل موضعی سطح پره نگردد. برای جلوگیری از اعمال نیروی بیشتر به سطح پره، می‌توان از مکانیزم‌های جغجغه نیز استفاده کرد. نیروهای F_y و F_z یعنی نیروهای خمش در صفحات Y-X و Z نیز به صورت زیر بدست می‌آیند:

شکل ۸ (الف) قسمتی از سطح ایرفویل که بهوسیله تقاطع صفحه‌ای موازی صفحه X-Z حاصل شده، نیروی باعث خمش پین در صفحه‌ای موازی صفحه F_z می‌شود (ب) نیروی F_y باعث خمش آن در صفحه‌ای موازی صفحه X-Y می‌شود.

$$F_y = \frac{F_x}{\tan \beta} = \frac{2}{\tan \beta} \quad (5)$$

$$F_z = \frac{F_x}{\sin \beta} \tan \theta = \frac{2}{\tan \beta} \quad (6)$$

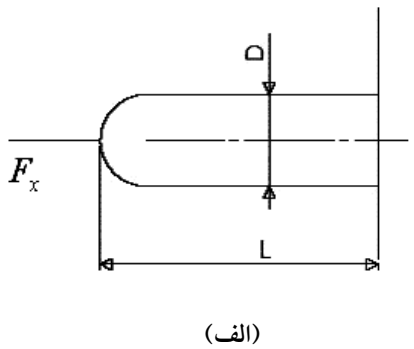
در رابطه ۶، طول بین‌ها برابر $L=30\text{ mm}$ زاویه بردار عمود بر سطح با محور Y در صفحه‌ای موازی صفحه

مؤلفه‌ای از نیروی وارد شده از سطح ایرفویل در امتداد محور پین بوده که باعث تغییر شکل طولی پین و خطای e_4 می‌شود.

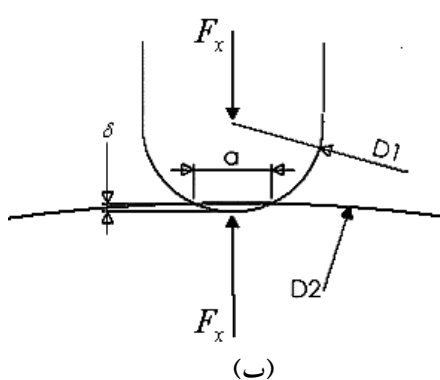
$$e_4 = \Delta L = \frac{FL}{AE} = \frac{2 \times 100}{4 / 90.6 \times 20000} = 0.002 \text{ mm}$$

؛ سطح مقطع پین‌ها

محاسبه تغییر شکل الاستیک نقطه تماس نوک پین‌ها با پره: بر طبق شکل (۹-ب) بر اثر تماس بین سطوح پین و ایرفویل، تغییر شکل الاستیک بین آن دو حاصل شده که باعث خطای e_5 می‌شود.



(الف)



شکل ۹ (الف) نیروی F_x که به طور محوری بر پین‌های شکل دهنده ایرفویل اثر می‌کند. (ب) نیروی محوری F_x که باعث تغییر شکل موضعی بین دو سطح پین و پره می‌شود.

$X - Y$ برابر $\beta = 70$ ، ضریب الاستیک پین‌ها برابر $E = 20000 \text{ N/mm}^2$ است. در رابطه بالا مقادیر بحرانی در نظر گرفته شده است.

برای به دست آوردن قطر پین‌ها مقدار e_2 باید مشخص شود. برای این منظور مقدار e_2 با توجه به کمترین محدوده رواداشت پروفیل پره بر طبق رابطه ۷ و شکل ۶ به دست می‌آید:

$$e_2 = \frac{0.06\pi}{\sin\beta} = \frac{0.06 \times 0.1}{\sin 70} = 0.063 \text{ mm} \quad (7)$$

در رابطه فوق خطای اندازه‌گیری در طراحی، در بدترین حالت برابر ۱۰٪ فرض شده است. ۶٪ وزن این خطای e_2 داده شده است. مقدار $\pi = 0.1 \text{ mm}$ کمترین محدوده رواداشت مجاز پره به سمت داخل بوده و مقدار آن عمود بر پروفیل ایرفویل اندازه‌گیری می‌شود. این رواداشت در شکل ۶ با T نشان داده شده است. مقدار خطای $e_2 = 0.063 \text{ mm}$ این خطای در نظر گرفته شده است. علت کوچک در نظر گرفتن این خطای، آن است که قطر پین‌ها توسط مقدار این خطای محاسبه می‌شود. لذا کمی محتاطانه عمل شده و حاشیه اینمی نسبتاً بزرگی در نظر گرفته شده است.

با جایگذاری اعداد در رابطه ۴، قطر پین‌ها برابر $2/49 \approx 2/5$ میلی‌متر به دست می‌آید. برای به دست آوردن e_3 بر طبق شکل ۷ داریم:

$$e_3 = DC + CA = \Delta z \times \theta + \Delta z \times \alpha \quad (8)$$

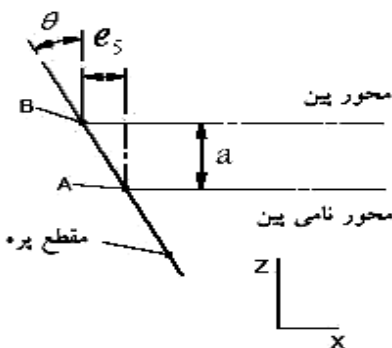
$$\Delta z = \frac{F_z L}{2EI} \quad (9)$$

که زاویه α کم بوده و قابل صرف‌نظر کردن است.

$$e_3 = \frac{\tan \theta L \times \theta}{2EI \sin \beta} = 0.0015 \text{ mm} \quad (10)$$

تغییر شکل طولی پین‌ها: بر طبق شکل (۹-الف)

بلبرینگ‌های خطی بوده که اجزای فوق با توجه به نیروی وارد شده به آنها، طول عمر و دقت، انتخاب شده است. در طراحی بدنه دستگاه از قوطی‌های مربع شکل استفاده شده است. اجزای فوق نسبت استحکام به وزن بالای داشته و صلیبت آنها نیز بالا است. آرایش دیگر اجزای دستگاه بر اساس قطعات مشخص شده و اندازه‌های پروفایل پروژکتور موجود انجام شده است.



شکل ۱۰ خط‌های حاصل از موقعیت‌دهی ناصحیح پره در برابر پین‌های شکل دهنده ایرفویل

۴- نتیجه‌گیری

برای آنکه دقت اندازه‌گیری سیستم مشخص شود، ابتدا ضخامت چندین قطعه با اندازه‌های $8/000$ ، $13/028$ ، $20/000$ ، $22/013$ ، $24/013$ ، $24/513$ و $30/011$ میلی‌متر اندازه‌گیری شده است. قطعات $13/028$ ، $22/013$ ، $24/013$ و $30/011$ قطعات سنگ زده دقیق است که اندازه آنها با پروفایل پروژکتور موجود با دقت $5 \mu m$ و رزلوشن $1 \mu m$ حاصل شده است. قطعات با اندازه‌های $8/000$ و $20/000$ اسلیپ گیج بوده‌اند. قطع تصویر شده یکی از قطعات فوق بر روی صفحه پروفایل پروژکتور در شکل ۱۱ نشان داده شده است. همان‌طور که مشخص است، سایه پین‌ها در امتداد دو خط موازی شکل گرفته که فاصله آنها میان ضخامت قطعه با مقیاس بزرگنمایی $5\times$ خواهد بود. برای اندازه‌گیری فاصله دو خط، از محورهای حرکتی X و Y پروفایل

$$\delta = 1.04 / (\eta_1 + \eta_2)^2 P^2 (D_1 + D_2) / D_1 D_2 J^{1/2} \quad (11)$$

$$\eta_1 = \frac{1 - v_1^2}{E_1}, \eta_2 = \frac{1 - v_2^2}{E_2} \quad (12)$$

$E_1 = 20000 N/mm^2$: ضریب الاستیسیته جنس پین‌ها

$E_2 = 20060 N/mm^2$: ضریب الاستیسیته جنس پره

$v_1 = 0/29$: مدول پواسون جنس پین‌ها

$v_2 = 0/29$: مدول پواسون جنس پره

$D_1 = 0/5 mm$: قطر سر پین

$D_2 = \infty$: قطر یا دو برابر شعاع انحنای سطح پره در نقطه تماس که برایر بینهایت در نظر گرفته شده است.

با جایگذاری مقادیر در رابطه (11)، خطای برابر مقدار

$e_5 = \delta = 0/009 mm$ به دست می‌آید.

خطاهای قسمت اندازه‌گیری در مرحله طراحی در

بحرانی ترین حالتها محاسبه شده که مقادیر آنها چنین است:

$$e_m = e_1 + e_2 + e_3 + e_4 + e_5 = \quad (13)$$

$$-4/3 - 1/5 - 0/2 - 0/9 = -12/9 \mu m$$

این عدد بدین معنا است که مقطع پره به اندازه $12/9$ میکرون کوچکتر نشان داده می‌شود.

مسئله دیگر دقت موقعیت‌دهی پره در امتداد محور آن است.

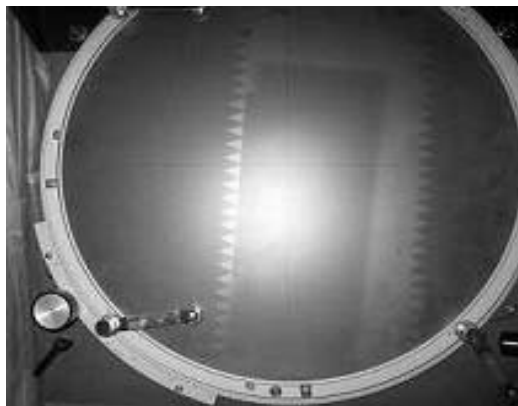
باید محاسبه شود که در ازای خطای حاصل شده از موقعیت‌دهی پره در امتداد محور آن، چه خطایی به آزمایش وارد خواهد شد که بر طبق شکل ۱۰ خطای e_6 برای آن

به دست می‌آید. چنانچه فرض شود خطای موقعیت‌دهی پره $a = \pm 0/05 mm$ باشد، خطای فوق در بدترین حالت برابر

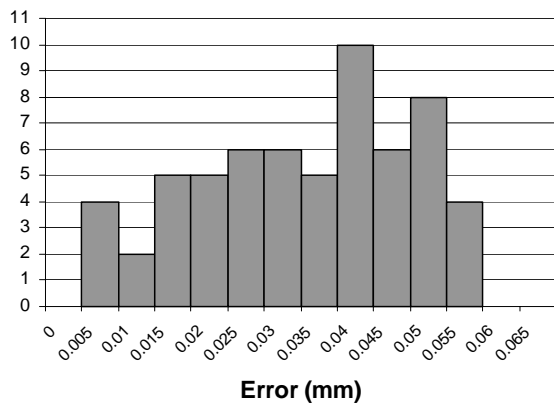
$e_6 = \pm 0.05 \tan 10 = \pm 0.05 tag 10 = \pm 8.8 \mu m$ بود. در اینجا θ بحرانی ترین مقدار انتخاب شده است. با تعیین

قطر و طول پین‌ها، اجزای در برگیرنده آنها با توجه به اندازه پره‌ها طراحی و در نرم‌افزار Solid Works مدل‌سازی شده

است. مرحله بعد، انتخاب اجزای استاندارد بوش بلبرینگ‌ها و



شکل ۱۱ تصویر حاصل از قطعه ساده قرار گرفته بر روی صفحه پروفایل پروژکتور



شکل ۱۲ نمودار توزیع فراوانی خطای به دست آمده از اندازه گیریهای انجام شده با دستگاه طراحی شده

$$\bar{S} = \frac{\sum_{i=1}^n S_i}{n} \quad (14)$$

$$SD = \sqrt{\frac{\sum_{i=1}^n (S_i - \bar{S})^2}{n-1}} \quad (15)$$

در حالت دیگر دو نوع پره با سیستم فوق کنترل شده است. مدل حاصل از اطلاعات CMM پره های

پروژکتور استفاده شده است. محورهای فوق هیچ گونه قیدی نسبت به سیستم اندازه گیری نداشته و لذا می تواند حرکت داشته باشد. برای اندازه گیری، یک اسلیپ گیج بر روی میز پروفایل پروژکتور قرار گرفته و میز طوری تنظیم می شود که سایه واضحی از اسلیپ گیج بر روی صفحه تصویر حاصل شود. در این حالت اسلیپ گیج بر روی میز طوری تنظیم می شود تا از یک طرف بر تصویر نوک پین ها مماس شود. امکان دارد امتداد حرکتی محورهای میز با امتداد سایه پین ها یا سایه اسلیپ گیج، زاویه بسازد لذا برای انجام اندازه گیری در نرم افزار پروفایل پروژکتور، محور مختصاتی تعریف می شود که یک محور آن در امتداد سایه فوق باشد. بنابراین اندازه گیری در محور مختصات فوق انجام خواهد شد. برای هر قطعه، اندازه گیری ۱۰ بار انجام می شود. اندازه گیری ها تحلیل آماری شده و خطأ و انحراف از مقدار متوسط برای هر اندازه بر طبق روابط (۱۴) و (۱۵) به دست می آیند. نتایج در جدول ۲ آورده شده است. از عده های فوق میانگین خطای کلی و انحراف از متوسط خطأ نیز به دست می آید. نتایج نشان می دهد که دستگاه موردنظر، ابعاد قطعات تا ۳۰ میلی متر را به طور متوسط با خطأ 0.031 ± 0.014 میلی متر و انحراف معیار 0.014 ± 0.003 میلی متر اندازه گیری می کند. شکل ۱۲ میزان تکرار پذیری را در انجام آزمایش های اندازه گیری قطعات نشان می دهد.

جدول ۲ اندازه نامی قطعاتی که مورد اندازه گیری قرار گرفته اند همراه با نتایج حاصل از تحلیل آماری آنها (mm)

اندازه نامی	میانگین خطأ (\bar{S})	انحراف از اندازه متوسط خطای حاصل شده (SD)
۳۰/۰۱۱	۲۴/۰۱۳	۲۲/۰۱۳
۰/۰۳۵۸	۰/۰۳۰۷	۰/۰۳۶۳

- Turbine-Blade Blanks”, Machines & Tooling, Volume XLI No. 8.
- [4] B. J. Smyth, “System of Making and Recording Profile Measurements”, US Patent, No. (2703456), 1955.
- [5] Razdow A., “Device for A Non-Destructive Dimensional Inspection of Mechanical Parts”, US Patent, No. (2795995), 1957.
- [6] Bammert R., Sandstede H., “Influence Of Manufacturing Tolerances and Surface Roughness of Blades on the Performance of Turbines”, Journal of Engineering for Power, January 1979.
- [7] “Engineering Department Instruction”, Allison Division of General Motors Corporation.
- [8] “Airfoil Shapes-Dimensioning Of Turbine Engine”, Aeronautical Recommended Practice, Society of Automotive Engineers Inc., Copyright By the SAE International, 1992.

فوق در دست بوده و لذا در نرم افزار از هر پره سه مقطع به دست آمده و مقاطع فوق با محدوده های رواداشت بالا و پایین بر روی طلق شفاف چاپ شده اند. برای کنترل پره ها، بر طبق شکل (۳-ب) پره موردنظر از طرف ریشه درون فک مخصوص موقعیت گرفته و در قسمت موقعیت دهنده دستگاه قرار می گیرد. پره در امتداد محور خود آنقدر جایه جا می شود تا نوک پین ها با مقطع موردنظر از پره در یک صفحه قرار گیرند. مقدار جایه جایی با کولیس ارتفاع سنج دیجیتالی با دقت ± 0.05 میلی متر اندازه گیری می شود. با مماس کردن پین ها بر پره، مقطع آن حاصل شده و با انتقال آن، سایه مقطع اندازه گیری شده بر روی صفحه پروفایل پروژکتور تشکیل می شود. طلق شفاف بر روی صفحه پروفایل پروژکتور طوری موقعیت می گیرد که مقطع مرجع با فاصله یکنواختی سایه پین ها را پوشش دهد. سایه پین ها در اکثر نقاط بر مقطع مرجع مماس بوده و نوک هیچ یک خارج از محدوده رواداشت نیست. نمونه ای از تصاویر حاصل شده از مقطع پره در شکل (۳-د) نشان داده شده است.

۵- منابع

- [1] Busch T., Royer H., Richard T., “Fundamental of Dimensional Metrology”, Third Edition, Delma, 1998.
- [2] Greve J. W., Wilson F. W., “Handbook of Industrial Metrology”, Second Edition, ASTME, 1988.
- [3] Belkina M. I., Kiryushov A. YA, “Multi-Dimension Instruments for Gauging

